

# 用连续波 Ar<sup>+</sup> 激光器拍摄活体人眼 双曝光全息干涉图

丁建华 张志麟 林钧岫 H. Kasprzak \* G. von Bally \*\*

(大连理工大学应用物理研究所, 116024)

**提要** 使用连续波 Ar<sup>+</sup> 激光器和热塑成像全息相机拍摄了活体人眼双曝光全息干涉图。将电子机械式光快门与自制的斩波盘配合使用, 获得  $2 \times 0.5$  ms、间隔 5 ms 和  $2 \times 0.25$  ms、间隔 2.5 ms 的双曝光条件。实验中人眼视网膜上的激光能量密度为  $0.4 \text{ mJ/cm}^2$ 。

**关键词** Ar<sup>+</sup> 激光, 双曝光, 全息干涉, 活体人眼

## Holographic interferograms of human eyes in vivo taken with continuous wave Ar<sup>+</sup> laser

Ding Jianhua, Zhang Zhilin, Lin Junxiu

(Institute of Applied Physics, Dalian University of Technology, Dalian 116024)

H. Kasprzak

(Institute of Physics, Technical University of Wroclaw, Wroclaw, Poland)

G. von Bally

(Laboratory of Biophysics, Institute of Experimental Audiology,  
University of Muenster, Muenster, Germany)

**Abstract** Using a continuous wave Ar<sup>+</sup> laser and a thermoplastic holographic camera, double-exposure holograms were taken of a human eyes in vivo. Exposure times,  $2 \times 0.25$  ms, interval 2 : 2.5 ms and  $2 \times 0.5$  ms, interval 5 ms were obtained by combining a shutter and a special light chopper. Light energy incident on the human retina was only  $0.4 \text{ mJ/cm}^2$ .

**Key words** Ar<sup>+</sup> laser, double-exposure, holographic interferometry, human eye in Vivo

收稿日期：1991年3月19日；收到修改稿日期：1991年5月9日。

\* 波兰弗罗茨瓦夫科技大学物理研究所；

\*\* 德国明斯特大学实验听力学研究所生物物理学实验室。

## 实验装置和方法

实验原理如图 1 所示。光源为光谱物理公司的 M-165 型 Ar<sup>+</sup> 激光器, 为获得稳定的单模输出, 腔内装有温控 F-P 标准具, 输出波长 514.5 nm, 最大单模输出功率 800 mW。全息图和全息干涉图用热塑成像全息相机(HSB 1000 型)拍摄在 HF-85 型热塑成像胶片上, 胶片的分辨率为 900 线/mm, 感光灵敏度为 10 erg/cm<sup>2</sup>。Model-SD1000 多功能光快门可提供单次和多次曝光方式, 该快门的最高速度(最短曝光时间)为 1 ms。为获得更短的曝光时间, 设计、制作了专门的光斩波器(见图 2), 当它们以 60 ms 和 30 ms 为周期旋转, 并和 SD1000 光快门配合使用时, 可获得  $t = 0.5 \text{ ms}$ ;  $0.25 \text{ ms}$  的单曝光或  $t = 2 \times 0.5 \text{ ms}$ ;  $2 \times 0.25 \text{ ms}$ , 间隔时间为 5 ms 和 2.5 ms 的双曝光。

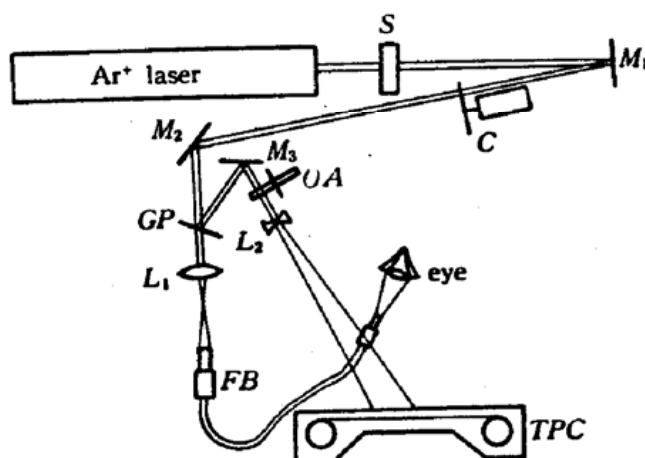


Fig. 1 Schematic diagram of the experimental arrangement

S—Shutter; C—Chopper;  
 M<sub>1,2,3</sub>—Mirror; L<sub>1,2</sub>—Lenses;  
 FB—Fiber bundle; GP—Glass plate;  
 OA—Variable optical attenuator;  
 TPC—Thermoplastic holo camera

实验中为获得均匀照明光, 使用了医用内窥镜的照明用光纤束将激光扩束。被拍摄物体为活体人眼, 被拍摄者将头部固定在一个专门框架上, 并尽可能保持头部稳定。

## 实验结果与讨论

利用上述实验装置, 成功地拍摄了活体人眼的全息图和全息干涉图(见图 3 和图 4)。全息干涉图的曝光参数为  $2 \times 0.25 \text{ ms}$ , 间隔时间  $2.5 \text{ ms}$ (图 4(a))和  $2 \times 0.5 \text{ ms}$ , 间隔时间  $5 \text{ ms}$ (图 4(b))。

眼睛是人体最敏感的器官, 呼吸、心跳、光刺激等诸多因素都会对眼睛的形变产生影响, 从而使形变变得很复杂。在图 4 所示的全息干涉图上可看到清晰的全息干涉条纹, 条纹分布图样表明, 在两次曝光之间, 眼睛的形态改变不是简单的径向膨胀或收缩。虽然仅从这两张全息干涉图还难以找出眼睛变化的规律, 但仍可看出健康人眼的干涉条纹基本上是平滑改变的, 没有出现条纹折断或剧烈的扭曲。有实验表明, 若角膜由于创伤留下疤痕, 其双曝光全息干涉条纹会出现折断或扭曲<sup>[1]</sup>。角膜修补和移植是眼科的常见手术, 对术后患者拍摄角膜全息干涉图, 可对手术效果、角膜生长情况作出分析。

拍摄活体人眼全息图最为重要的是安全问题, 通常安全标准是以落在人眼视网膜上的激

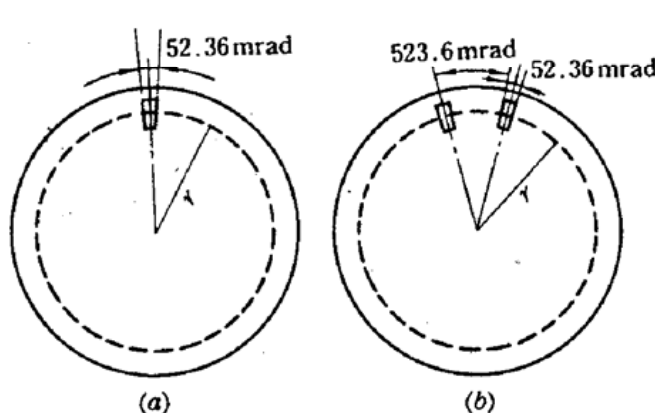


Fig. 2 Chopping disks

(a) for single exposure;  
 (b) for double exposure

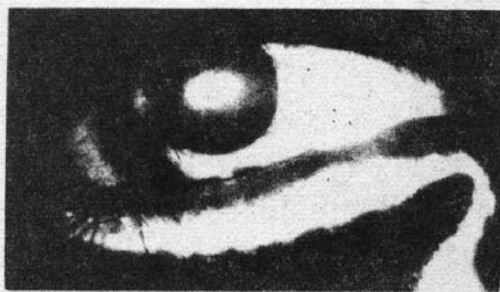


Fig. 3 In-vivo hologram of a human eye (exposure time 1ms)

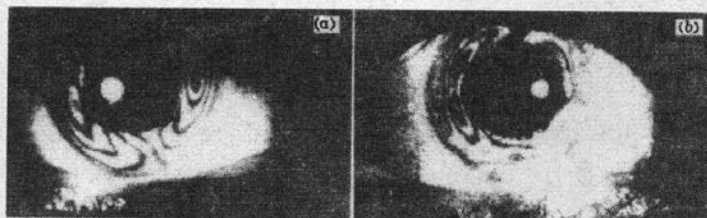


Fig. 4 Double-exposure holograms of the human eye In-vivo  
(a) Exposure time  $2 \times 0.25$  ms, interval 2.5 ms;  
(b) Exposure time  $2 \times 0.5$  ms, interval 5 ms

光能量密度来制定的。美国陆军和海军的标准是 $<600\text{ mJ/cm}^2$ <sup>[2]</sup>, 美国 HEW(卫生、教育、福利部)标准则是 $<10\text{ mJ/cm}^2$ <sup>[3]</sup>。在本实验中, 激光输出功率为 100 mW, 测得眼球表面的激光功率密度为  $10\text{ mW/cm}^2$ , 照明光纤束直径 3 mm, 距离眼睛 50 mm。用简化人眼模型<sup>[4]</sup>(见图 5), 求得视网膜上光斑直径为

$$D_r = \frac{\text{结点 } N \text{ 到视网膜距离}}{\text{光纤束到结点 } N \text{ 距离}} \times \text{光纤束直径} = \frac{17.2}{50 + (22.9 - 17.2)} \times 3 = 0.93 \text{ (mm)}$$

设瞳孔直径  $D_p = 6\text{ mm}$ , 且眼球对光无吸收, 那么视网膜上的功率密度为

$$w = \frac{\text{眼球表面功率密度} \times \text{瞳孔截面积}}{\text{视网膜上光斑面积}} = \frac{10\text{ mW/cm}^2 \times (D_p/2)^2 \pi}{(D_r/2)^2 \pi} = 416\text{ mW/cm}^2$$

当曝光时间  $t = 2 \times 0.5\text{ ms}$  时, 能量密度

$$e = w \cdot t = 0.416\text{ mJ/cm}^2$$

可见在本实验中, 落在视网膜上的激光能量密度远低于美国 HEW 标准  $10\text{ mJ/cm}^2$ , 因此是安全的。

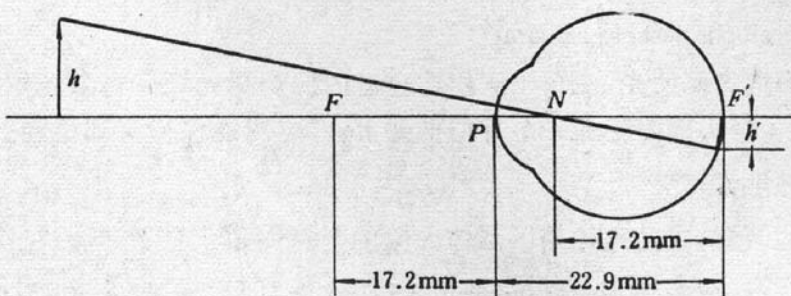


Fig. 5 Retinal image size constructed by means of a reduced human eye  
N—Nodal point; P—Principal point; F—Front focus; F'—Rear focus

## 参 考 文 献

- 1 J. L. Calkins et al., *Invest. Ophthalmol. Vis. Sci.*, **21**, 322(1981)
- 2 Departments of the Army and the Navy, TB MED 279/ NAV MED P5052~35; Control of Hazards to Health from Laser Radiation. Washington, DC, pp. 1~9, 1969
- 3 J. L. Calkins, C. O. Leonard, *Invest. Ophthal.*, **9**, 458(1970)
- 4 M. Katz, *Clinical Ophthalmology*, **1**, Chap. 33, 1~52(1972)